

线特征介绍

权美香

2019 年 10 月 15 日

1 Line Representation

我们使用两种形式的线特征表示法: "plucker coordinate" 和 "orthonormal representation"。orthonormal representation 用于优化, plucker coordinate 用来做 line initialization, transformation, projection 和 endpoint trimming.

1.1 Plucker Line Coordinate

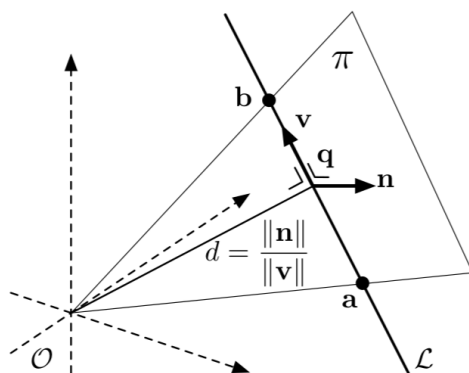


图 1: plucker line coordinate

给定 \mathcal{L} 的两个 3D 端点 \mathbf{a} , \mathbf{b} , 该条直线的 plucker coordinate 为:

$$\mathcal{L} = \begin{bmatrix} \mathbf{n} \\ \mathbf{v} \end{bmatrix} = \begin{bmatrix} \mathbf{a} \times \mathbf{b} \\ \mathbf{b} - \mathbf{a} \end{bmatrix} \in \mathbb{R}^6 \quad (1)$$

其中, \mathbf{n} 表示原点与直线 \mathcal{L} 构成的平面的法向量, 从而确定直线所在的平面。 \mathbf{v} 表示直线 \mathcal{L} 的方向向量, 从而决定直线在该平面的方向。该直线与原点的距离则为:

$$\begin{aligned} d &= \frac{\|\mathbf{a} \times \mathbf{ab}\|}{\|\mathbf{ab}\|} \\ &= \frac{\|\mathbf{a} \times (\mathbf{b} - \mathbf{a})\|}{\|\mathbf{b} - \mathbf{a}\|} \\ &= \frac{\|\mathbf{n}\|}{\|\mathbf{v}\|} \end{aligned} \quad (2)$$

从而, 可以根据 plucker line coordinate 唯一确定空间上的一条直线。plucker coordinate 有 $\mathbf{n} \cdot \mathbf{v} = 0$ 的约束, 从而不能直接用于传统的优化方法。

1.2 Orthonormal Representation

三维空间的直线是 4 个自由度, 但是 plucker coordinate 是 6 个自由度。在图优化里, 额外的自由度将导致计算代价的增加和系统的不稳定。而且由于 plucker coordinate 的参数间存在如上的约束, 从而在优化时使用 4 个参数的 orthonormal representation 来表示线特征。从线的 plucker coordinate, 我们获得其 orthonormal representation $(\mathbf{U}, \mathbf{W}) \in SO(3) \times SO(2)$ 为:

$$\mathcal{L} = [\mathbf{n}|\mathbf{v}] = \begin{bmatrix} \frac{\mathbf{n}}{\|\mathbf{n}\|} & \frac{\mathbf{v}}{\|\mathbf{v}\|} & \frac{\mathbf{n} \times \mathbf{v}}{\|\mathbf{n} \times \mathbf{v}\|} \end{bmatrix} \begin{bmatrix} \|\mathbf{n}\| & 0 \\ 0 & \|\mathbf{v}\| \\ 0 & 0 \end{bmatrix} = \mathbf{U} \begin{bmatrix} \|\mathbf{n}\| & 0 \\ 0 & \|\mathbf{v}\| \\ 0 & 0 \end{bmatrix} \quad (3)$$

其中 $\mathbf{U} \in SO(3)$, $\omega_1 = \frac{\|\mathbf{n}\|}{\sqrt{\|\mathbf{n}\|^2 + \|\mathbf{v}\|^2}}$, $\omega_2 = \frac{\|\mathbf{v}\|}{\sqrt{\|\mathbf{n}\|^2 + \|\mathbf{v}\|^2}}$, $\mathbf{W} = \begin{bmatrix} \omega_1 & -\omega_2 \\ \omega_2 & \omega_1 \end{bmatrix} \in SO(2)$. 从而, 我们可用 $\boldsymbol{\theta} = \text{Log}(\mathbf{U}) \in \mathbb{R}^3$ 和 $\theta = \text{acos}(\omega_1) \in \mathbb{R}^1$ 来表示直线的待优化的参数 $\mathbf{p}^T = (\boldsymbol{\theta}^T, \theta)$, 且以左乘的形式更新 orthonormal representation 为 $\mathbf{U} \leftarrow \text{Exp}(\boldsymbol{\theta})\mathbf{U}$, $\mathbf{W} \leftarrow \mathbf{R}(\theta)\mathbf{W}$. 从 orthonormal representation 转换为线的 plucker coordinate 为:

$$\mathcal{L} = \begin{bmatrix} \omega_1 \mathbf{u}_1 \\ \omega_2 \mathbf{u}_2 \end{bmatrix} \in \mathbb{R}^6 \quad (4)$$

其中 \mathbf{u}_i 是 \mathbf{U} 的第 i 列。

2 Initialization

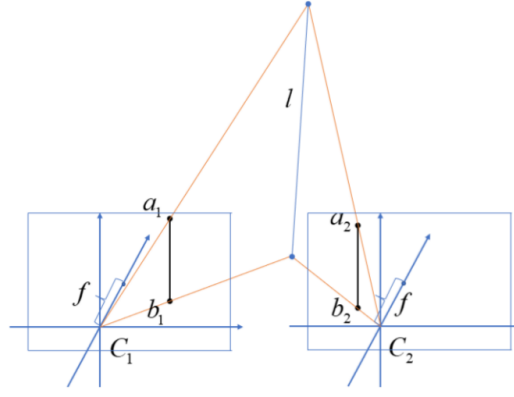


图 2: line initialization

2.1 plane construction

给定 camera center $\mathbf{C} \in \mathbb{R}^3$ 和相平面上直线的两个端点的 homogeneous normalized image coordinates $\bar{\mathbf{a}} \in \mathbb{R}^3$, $\bar{\mathbf{b}} \in \mathbb{R}^3$, 我们可以计算出包含这三个点的平面 $\pi \in \mathbb{R}^4$ 为:

$$\pi = \begin{bmatrix} (\bar{\mathbf{a}} - \mathbf{C}) \times (\bar{\mathbf{b}} - \mathbf{C}) \\ -\mathbf{C} \cdot (\bar{\mathbf{a}} \times \bar{\mathbf{b}}) \end{bmatrix} \quad (5)$$

2.2 line initialization

如图 2, 直线 l 在相机 \mathbf{C}_1 和 \mathbf{C}_2 的相平面上的投影为 $\mathbf{a}_1\mathbf{b}_1$, $\mathbf{a}_2\mathbf{b}_2$ 。为了计算在世界坐标系下的直线 l 的坐标, 我们首先计算每个相平面上的端点在世界坐标系下的 homogeneous normalized image coordinates $\bar{\mathbf{a}}_1$, $\bar{\mathbf{b}}_1$, $\bar{\mathbf{a}}_2$,

$\bar{\mathbf{b}}_2$ 和 camera center $\mathbf{C}_1, \mathbf{C}_2$ 在世界坐标系下的 position。然后我们可通过公式(5)来构建在世界坐标系下的过点 $\mathbf{a}_1\mathbf{C}_1\mathbf{b}_1$ 的平面 π_1 和过点 $\mathbf{a}_2\mathbf{C}_2\mathbf{b}_2$ 的平面 π_2 。这两个反投影平面的交线即为直线 \mathbf{l} ，则直线 \mathbf{l} 在世界坐标系下的 plucker matrix 为：

$$\begin{aligned}\mathcal{L}^* &= \pi_1\pi_2^T - \pi_2\pi_1^T \\ \mathcal{L}^* &= \begin{bmatrix} [\mathbf{v}]_{\times} & \mathbf{n} \\ -\mathbf{n}^T & 0 \end{bmatrix}\end{aligned}\quad (6)$$

从而我们可以从 plucker matrix 里提取出 plucker line coordinate $\mathbf{l} = \begin{bmatrix} \mathbf{n} \\ \mathbf{v} \end{bmatrix}$ 。

3 Endpoint Trimming

我们使用的所有几何计算都将 3D 直线认为是无限长的直线，但从实际环境中提取出来的直线都存在两个端点。对于已求解的线的 plucker coordinate \mathbf{l} ，为了计算相平面上的端点 \mathbf{a}_1 对应的 3D 直线上的端点 \mathbf{A} ，首先计算平面 $\mathbf{a}_1\mathbf{C}_1\mathbf{b}_1$ 的法向量：

$$\mathbf{a}_1\mathbf{e}_1 = \mathbf{a}_1 \times \mathbf{b}_1 \quad (7)$$

从而 \mathbf{e}_1 的坐标为 $\mathbf{e}_1 = \mathbf{a}_1 + \mathbf{a}_1 \times \mathbf{b}_1$ 。通过公式(5)构建过点 $\mathbf{e}_1\mathbf{C}_1\mathbf{a}_1$ 的平面 $\pi_{\mathbf{e}_1\mathbf{C}_1\mathbf{a}_1}$ ，则端点 \mathbf{A} 就是 3D 直线 \mathbf{l} 与平面 $\pi_{\mathbf{e}_1\mathbf{C}_1\mathbf{a}_1}$ 的交点：

$$\begin{aligned}\mathcal{L} &= \begin{bmatrix} [\mathbf{n}]_{\times} & \mathbf{v} \\ -\mathbf{v}^T & 0 \end{bmatrix} \\ \bar{\mathbf{A}} &= \mathcal{L}\pi_{\mathbf{e}_1\mathbf{C}_1\mathbf{a}_1}\end{aligned}\quad (8)$$

对于每个 measurement 计算对应的 3D 直线的端点，且只在计算的新的端点超过当前端点时更新即可。

4 Measurement model

给定世界坐标系下的线的 plucker coordinate \mathcal{L}_W ，当前帧的位姿 $\mathbf{T}_B^W \in SE(3)$ 和相机-IMU 外参 $\mathbf{T}_C^B \in SE(3)$ ，我们如下构建线特征的测量模型。

首先我们将 3D 线特征从世界坐标系转到相机坐标系为:

$$\begin{aligned} \mathbf{T}_W^C &= \begin{bmatrix} \mathbf{R}_C^{B^T} \mathbf{R}_B^{W^T} & -\mathbf{R}_C^{B^T} \mathbf{p}_C^B - \mathbf{R}_C^{B^T} \mathbf{R}_B^{W^T} \mathbf{p}_B^W \\ \mathbf{0} & 1 \end{bmatrix} \\ \mathcal{L}_C &= \begin{bmatrix} \mathbf{n}_C \\ \mathbf{v}_C \end{bmatrix} = \mathcal{H}_{CW} \mathcal{L}_W = \begin{bmatrix} \mathbf{R}_W^C & [\mathbf{p}_W^C]_{\times} \mathbf{R}_W^C \\ \mathbf{0} & \mathbf{R}_W^C \end{bmatrix} \begin{bmatrix} \mathbf{n}_W \\ \mathbf{v}_W \end{bmatrix} \end{aligned} \quad (9)$$

在相机坐标系下, 我们假设与相平面上测量的直线上的两个端点 \mathbf{a}, \mathbf{b} 对应的直线 \mathcal{L}_C 上的 3D 端点为 A, B 。则 $\bar{\mathbf{a}} = \mathbf{K}\mathbf{A}$, $\bar{\mathbf{b}} = \mathbf{K}\mathbf{B}$, $\mathbf{n}_C = \mathbf{A} \times \mathbf{B}$, $\bar{\mathbf{l}} = \bar{\mathbf{a}} \times \bar{\mathbf{b}}$, 从而, 线的投影方程为:

$$\begin{aligned} \bar{\mathbf{l}} &= \begin{bmatrix} l_1 \\ l_2 \\ l_3 \end{bmatrix} = (\mathbf{K}\mathbf{A}) \times (\mathbf{K}\mathbf{B}) = \det(\mathbf{K})(\mathbf{K}^{-1})^T (\mathbf{A} \times \mathbf{B}) = \mathbf{K} \mathbf{n}_C \\ \mathbf{K} &= \begin{bmatrix} f_y & 0 & 0 \\ 0 & f_x & 0 \\ -f_y x_0 & -f_x y_0 & f_x f_y \end{bmatrix} \end{aligned} \quad (10)$$

从线的投影公式, 线的投影方程只和 plucker line coordinate \mathcal{L}_C 的垂直分量 \mathbf{n}_C 相关。给定图像上提取的线段 $\bar{\mathbf{l}}$ 的两个端点 $\tilde{\mathbf{a}} = [u_a, v_a, 1]^T$, $\tilde{\mathbf{b}} = [u_b, v_b, 1]^T$ 和投影预测得到的直线坐标 $\bar{\mathbf{l}}$, 则线的重投影误差为测量的两个端点到投影预测的直线的距离:

$$\mathbf{e}_l = \begin{bmatrix} \frac{\tilde{\mathbf{a}} \cdot \bar{\mathbf{l}}}{\sqrt{l_1^2 + l_2^2}} \\ \frac{\tilde{\mathbf{b}} \cdot \bar{\mathbf{l}}}{\sqrt{l_1^2 + l_2^2}} \end{bmatrix} \in \mathbb{R}^2 \quad (11)$$

5 jacobian of line reprojection error

线特征重投影误差 \mathbf{e}_l 对投影预测直线 $\bar{\mathbf{l}}$ 的雅克比为:

$$\frac{\partial \mathbf{e}_l}{\partial \bar{\mathbf{l}}} = \frac{1}{l_n} \begin{bmatrix} u_a - \frac{l_1 \tilde{\mathbf{a}}^T \bar{\mathbf{l}}}{l_n^2} & v_a - \frac{l_2 \tilde{\mathbf{a}}^T \bar{\mathbf{l}}}{l_n^2} & 1 \\ u_b - \frac{l_1 \tilde{\mathbf{b}}^T \bar{\mathbf{l}}}{l_n^2} & v_b - \frac{l_2 \tilde{\mathbf{b}}^T \bar{\mathbf{l}}}{l_n^2} & 1 \end{bmatrix} \in \mathbb{R}^{2 \times 3} \quad (12)$$

其中, $l_n = \sqrt{l_1^2 + l_2^2}$.

由 $\bar{\mathbf{l}} = \boldsymbol{\kappa} \mathbf{n}_C$, 有:

$$\frac{\partial \bar{\mathbf{l}}}{\partial \boldsymbol{\mathcal{L}}_C} = \begin{bmatrix} \boldsymbol{\kappa} & \mathbf{0} \end{bmatrix} \in \mathbb{R}^{3 \times 6} \quad (13)$$

plucker line coordinate $\boldsymbol{\mathcal{L}}_C$ 对 $\boldsymbol{\mathcal{L}}_W$ 的雅克比为:

$$\frac{\partial \boldsymbol{\mathcal{L}}_C}{\partial \boldsymbol{\mathcal{L}}_W} = \boldsymbol{\mathcal{H}}_{CW} \in \mathbb{R}^{6 \times 6} \quad (14)$$

plucker line coordinate 对 orthonormal representation 的雅克比为:

$$\frac{\partial \boldsymbol{\mathcal{L}}_W}{\partial \mathbf{p}} = \begin{bmatrix} -[\omega_1 \mathbf{u}_1]_{\times} & -\omega_2 \mathbf{u}_1 \\ -[\omega_2 \mathbf{u}_2]_{\times} & -\omega_1 \mathbf{u}_2 \end{bmatrix} \in \mathbb{R}^{6 \times 4} \quad (15)$$

plucker line coordinate $\boldsymbol{\mathcal{L}}_C$ 对 \mathbf{T}_B^W 的雅克比为:

$$\begin{aligned} \frac{\partial \boldsymbol{\mathcal{L}}_C}{\mathbf{T}_B^W} &= \begin{bmatrix} \frac{\partial \mathbf{n}_C}{\mathbf{R}_B^W} & [\mathbf{R}_W^C \mathbf{v}_W]_{\times} \mathbf{R}_W^C \\ \mathbf{R}_C^{B^T} [\mathbf{R}_B^{W^T} \mathbf{v}_W]_{\times} & \mathbf{0} \end{bmatrix} \in \mathbb{R}^{6 \times 6} \\ \frac{\partial \mathbf{n}_C}{\mathbf{R}_B^W} &= \mathbf{R}_C^{B^T} [\mathbf{R}_B^{W^T} \mathbf{n}_W]_{\times} + [\mathbf{p}_W^C]_{\times} \mathbf{R}_C^{B^T} [\mathbf{R}_B^{W^T} \mathbf{v}_W]_{\times} + [\mathbf{R}_W^C \mathbf{v}_W]_{\times} \mathbf{R}_C^{B^T} [\mathbf{R}_B^{W^T} \mathbf{p}_B^W]_{\times} \in \mathbb{R}^{3 \times 3} \end{aligned} \quad (16)$$

plucker line coordinate $\boldsymbol{\mathcal{L}}_C$ 对 \mathbf{T}_C^B 的雅克比为:

$$\begin{aligned} \frac{\partial \boldsymbol{\mathcal{L}}_C}{\mathbf{T}_C^B} &= \begin{bmatrix} \frac{\partial \mathbf{n}_C}{\mathbf{R}_C^B} & [\mathbf{R}_W^C \mathbf{v}_W]_{\times} \mathbf{R}_C^{B^T} \\ [\mathbf{R}_W^C \mathbf{v}_W]_{\times} & \mathbf{0} \end{bmatrix} \in \mathbb{R}^{6 \times 6} \\ \frac{\partial \mathbf{n}_C}{\mathbf{R}_C^B} &= [\mathbf{R}_W^C \mathbf{n}_W]_{\times} + [\mathbf{p}_W^C]_{\times} [\mathbf{R}_W^C \mathbf{v}_W]_{\times} - [\mathbf{R}_W^C \mathbf{v}_W]_{\times} [\mathbf{p}_W^C]_{\times} \in \mathbb{R}^{3 \times 3} \end{aligned} \quad (17)$$